



## معرفی مواد نوری Up-conversion: از تئوری تا کاربرد

فرزانه طباطبائی حسینی<sup>۱\*</sup>، علی اصغر صباح الوانی<sup>۲\*</sup>، مژده طاهریان<sup>۱\*</sup>، حسن سامعی<sup>۳</sup>، شیما موسی خانی<sup>۱\*</sup>

۱-دانشجوی کارشناسی ارشد، دانشکده مهندسی پلیمر و رنگ، دانشگاه صنعتی امیرکبیر، تهران، ایران، صندوق پستی: ۱۵۸۷۵-۴۴۱۳

۲-دانشجوی کارشناسی ارشد، پژوهشکده رنگ و پلیمر، دانشگاه صنعتی امیرکبیر، تهران، ایران، صندوق پستی: ۱۵۸۷۵-۴۴۱۳

۳-استادیار، پژوهشکده رنگ و پلیمر، دانشگاه صنعتی امیرکبیر، تهران، ایران، صندوق پستی: ۱۵۸۷۵-۴۴۱۳

۴-کارشناس ارشد، پژوهشکده رنگ و پلیمر، دانشگاه صنعتی امیرکبیر، تهران، ایران، صندوق پستی: ۱۵۸۷۵-۴۴۱۳

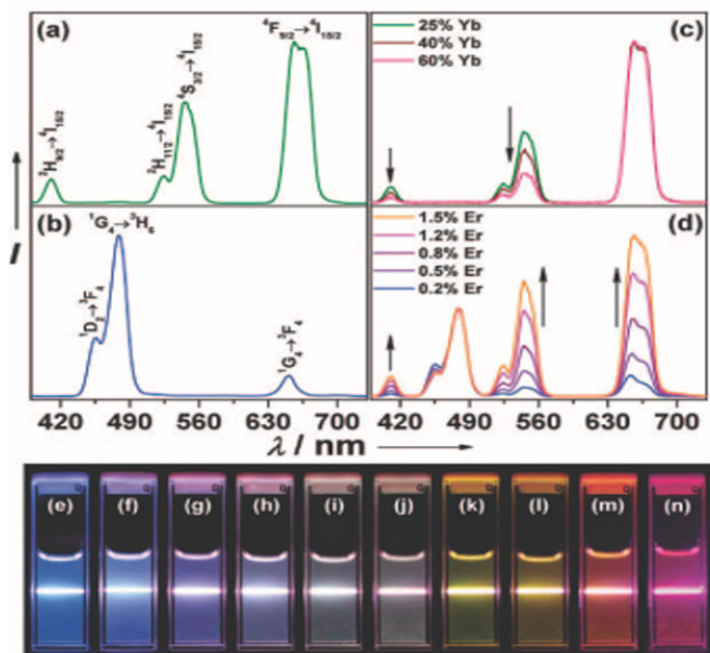
تاریخ دریافت: ۹۱/۴/۳۱ تاریخ بازبینی: ۹۱/۶/۲۵ تاریخ پذیرش: ۹۱/۷/۳

### چکیده

در سال‌های اخیر، مواد نوری Up-conversion توجه بسیار زیادی را در زمینه‌های مختلف نظری شناساگرها پژوهشی، سلول‌های خورشیدی، حسگرهای حرارتی و شیمیایی و غیره به خود جلب کرده‌اند. این مواد قابلیت جذب پرتوهای کم انرژی و در نهایت گسیل پرتویی با انرژی بالاتر از طریق فرآیند نوری غیرخطی دارند. سازوکارهای فرآیند Up-conversion شامل سه نوع اصلی جذب از حالت تهییج یافته (ESA)، انتقال انرژی نورتابی تبدیل به بالا (ETU) و بهمن فوتونی (PA) می‌باشند. از رایج‌ترین نوع میزان‌ها می‌توان به خانواده‌های فلوروریدی و اکسیدی اشاره نمود. همچنین یون‌های Er<sup>3+</sup> (ETU) و Ho<sup>3+</sup> (Tm<sup>3+</sup>) به عنوان بهترین مراکز فعال‌کننده و یون‌های Yb<sup>3+</sup> نیز به عنوان بهترین مراکز حساس‌کننده بیان شده‌اند. در ادامه روش‌های ساخت و اصلاح سطحی این نانوذرات توضیح داده می‌شود. تمرکز اصلی در مقاله حاضر، بیشتر بر روی تئوری این مواد که شامل سازوکار و ساختار بوده و در نهایت کاربردهای فسفرهای نورتابی تبدیل به بالا بعنوان نسل جدیدی از مواد نوری پیشرفتی به ویژه برای استفاده در زمینه‌های پژوهشی بیان خواهد شد.

### واژه‌های کلیدی

نورتاب، آنتی‌استوکس، ماده میزان، دوپینت، شناساگر پژوهشی.



\*Corresponding author: sabbagh\_alvani@aut.ac.ir

**۱- مقدمه**

پس از جذب یک فوتون و تهییج به تراز  $E_1$  به جای بازگشت به حالت پایه خود، فوتون دوم را نیز جذب کرده و به تراز انرژی بالاتر  $E_2$  رود تا در نهایت یک فوتون با انرژی بیشتر گسیل کند. بدین ترتیب که یون در تراز پایه  $E_0$  یک فوتون جذب کرده و به تراز  $E_1$  می‌رود (GSA)<sup>۱۲</sup>، پس از جذب فوتون دوم و تهییج به تراز  $E_2$  (ESA)، گسیل نورتایی تبدیل به بالا از تراز  $E_2$  با انرژی بالاتر رخ می‌دهد (شکل ۲-۴) [۴].

**۲- انتقال انرژی نورتایی:** برای اولین بار در نیمه ۱۹۶۰ مورد بررسی قرار گرفت. به طور کلی در این حالت پس از تهییج از حالت پایه (GSA)، انتقال انرژی غیرپرتوئی از یون حساس‌کننده به یون فعال‌کننده صورت می‌گیرد که منجر به اشغال فوتون در تراز تهییج یافته بالاتر  $E_2$  در یون دوم می‌شود، در انتها گسیل نورتایی از تراز  $E_2$  رخ می‌دهد (شکل ۲-۵) [۵].

**۳- بهمن فوتونی:** پیچیده‌ترین سازوکار نورتایی تبدیل به بالا است که به ندرت مشاهده می‌شود و برای نخستین بار توسط چیوان<sup>۱۳</sup> در سال ۱۹۷۹ کشف شد. اگر نور ورودی به اندازه کافی شدید باشد، اولین تراز تهییج یافته  $E_1$  از طریق جذب غیر رزونانسی از حالت پایه توسط یون‌های بسیاری اشغال می‌شود. سپس مرحله تهییج یافته اتفاق می‌افتد که به دلیل اشغال در تراز تهییج یافته بالاتر  $E_2$ ، بسیار کارآمد است. سپس از تراز  $E_2$ ، انتقال انرژی بین سیستمی<sup>۱۴</sup> اتفاق افتاده که منجر به اشغال تراز میانی  $E_1$  در هر دو یون مجاور می‌گردد و باعث تشدید اثر بهمن فوتونی به دلیل ایجاد یون‌های تهییج یافته بیشتر در تراز  $E_1$  می‌شود (شکل ۲-۵) [۶].

**۳- ساختار**

به منظور رخداد سازوکارهای ذکر شده در بخش قبل، ساختار مواد نورتایی تبدیل به بالا می‌باشد شامل اجزای میزبان، یون‌های حساس‌کننده و فعال‌کننده باشند. که در ادامه به توضیح در مورد هر یک از این اجزا پرداخته می‌شود.

**۱- ماده میزبان:** تشکیل‌دهنده شبکه بلوری است که ویژگی اصلی آن پایین بودن انرژی‌های فوتونی به منظور کاهش پرتوهای چند فوتونی و افزایش طول عمر ترازهای میانی در گیر در فرآیند نورتایی تبدیل به بالا می‌باشد [۷]. بهترین میزبان‌ها شامل خانواده هالیدها  $\text{NaYF}_4$  [۸-۹]،  $\text{YF}_3$  [۱۰-۱۱]،  $\text{LaF}_3$  [۱۲-۱۳]، اکسیدها  $\text{ZrO}_2$ ،  $\text{Y}_2\text{O}_3$  [۱۴] و اکسی‌سولفیدها  $\text{Y}_2\text{O}_2\text{S}$  [۱۵] می‌باشد. کمترین انرژی‌های فوتونی متعلق به میزبان‌های بر پایه هالیدی (کمتر از  $400 \text{ cm}^{-1}$ ) است، اما در عمل به دلیل جذب بالای رطوبت در هالیدهای سنگین وزن، ترجیحاً از خانواده فلوئوریدی استفاده می‌شود. همچنین میزبان‌های اکسیدی در مقایسه با نوع فلوئوریدی، دارای پایداری شیمیایی بهتر و انرژی‌های فونونی بالاتری (بیشتر از  $500 \text{ cm}^{-1}$ ) هستند.

پدیده نورتایی تبدیل به بالا<sup>۱</sup> برای نخستین بار در سال ۱۹۶۰ توسط آزول و همکارانش<sup>۲</sup> مورد مطالعه قرار گرفت [۱]. نورتایی، در لغت به معنی ساطع شدن نور از منبعی است که اساس حرارتی ندارد. پدیده نورتایی ناشی از تهییج توسط فوتون در شکل (۱-a) نشان داده شده است [۲]. فسفرهای نورتایی تبدیل به بالا<sup>۳</sup> دارای رفتار آنتی‌استوکس<sup>۴</sup> بوده، به این ترتیب که با جذب دو یا بیشتر از دو فوتون کم انرژی، در نهایت یک فوتون با انرژی بالاتر گسیل می‌کنند (شکل ۱-c). توانایی جذب پرتوهای با طول موج بلند و گسیل پرتوهای با طول موج کوتاه در این مواد ناشی از وجود ترازهای میانی نیمه‌پایدار حقیقی با طول عمر کافی (s)<sup>۵</sup> [۱۰-۱۱] برای ذخیره‌سازی فوتون‌های جذب شده می‌باشد. فسفرهای نورتایی تبدیل به بالا با توجه به قابلیت تبدیل پرتوهای زیر قرمز نزدیک (NIR)<sup>۶</sup> به امواج مرئی، اخیراً توجه بسیاری از محققین به ویژه در زمینه‌های پزشکی را به سمت خود جلب نموده‌اند [۳]. در مقابل می‌توان به فسفرهای تبدیل به پایین<sup>۷</sup> یا فسفرهای ساطع کننده چند فوتونی<sup>۸</sup> اشاره کرد. تقافت فسفرهای DC نسبت به فسفرهای نورتایی تبدیل به بالا تبدیل به بالا مربوط به جایه‌جایی طول موج‌های نشر نسبت به جذب آن‌هاست که در فسفرهای DC این جایه‌جایی به سمت طول موج‌های بلندتر<sup>۹</sup> رخ می‌دهد، بدین ترتیب که با جذب پرتوهای با طول موج کوتاه، در نهایت پرتوهای با طول موج بلند گسیل می‌کنند. یکی از مهمترین انواع فسفرهای DC، فسفرهای فعال شده با یون‌های  $\text{Pt}^{3+}$  می‌باشند که بر اثر جذب یک فوتون فراینفشن، قادر به ایجاد بیش از یک فوتون مرئی هستند (شکل ۱-b) [۲].

**۲- سازوکار**

سازوکارهای نورتایی شامل سه نوع اصلی جذب از حالت تهییج یافته، انتقال انرژی نورتایی تبدیل به بالا (ETU)<sup>۹</sup> و بهمن فوتونی (PA)<sup>۱۰</sup> می‌باشند.

**۱- جذب از حالت تهییج یافته ESA:** برای نخستین بار توسط بلومبرگن<sup>۱۱</sup> در سال ۱۹۵۹ کشف شد. یکی از ساده‌ترین سازوکارهای نورتایی تبدیل به بالا جذب ESA است که در تک یون اتفاق می‌افتد، منظور از تک یون این است که در این سازوکار یک یون هم به عنوان حساس‌کننده عمل نموده و انرژی را جذب می‌کند و هم به عنوان فعال کننده عمل کرده و نور را گسیل می‌دهد. ESA تنها سازوکاری است که در مواد با غلظت کم دوپت نیز رخ می‌دهد. شرط لازم برای رخداد فرآیند نورتایی تبدیل به بالا تبدیل به بالا این است که ماده مورد نظر دارای ترازهای میانی نیمه‌پایدار با طول عمر کافی باشد تا

<sup>1</sup> Up-conversion

<sup>2</sup> Auzel

<sup>3</sup> به مواد نورتاب معدنی، در اصطلاح فسفر به معنای حمل کننده نور نیز گفته می‌شود.

<sup>4</sup> Anti-Stokes

<sup>5</sup> Near Infrared

<sup>6</sup> Down-conversion (DC)

<sup>7</sup> Quantum-splitting phosphors

<sup>8</sup> Red-shift

<sup>9</sup> Energy transfer up-conversion

<sup>10</sup> Photon avalanche

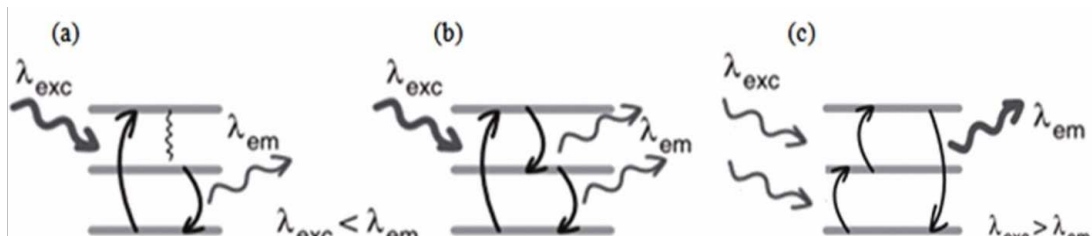
<sup>11</sup> Bloembergen

<sup>12</sup> Ground state absorption

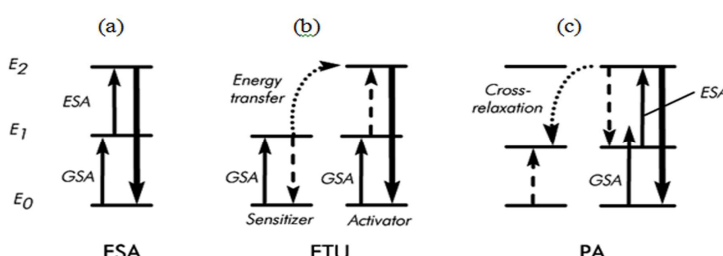
<sup>13</sup> Chivian

<sup>14</sup> Cross relaxation

# مقاله

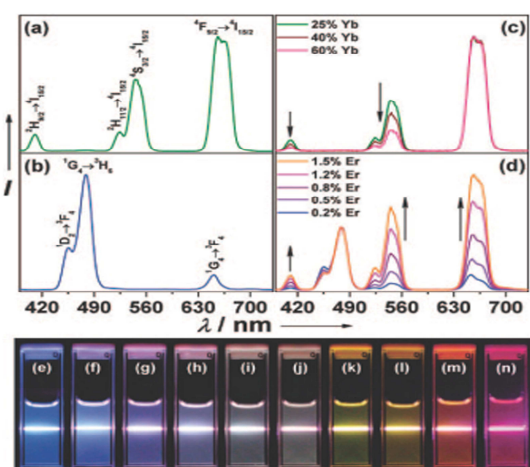


شکل ۱- انواع سازوکار گسیل نور در فسفرهای مختلف: (a) فوتولومینسنس، (b) و (c) Down-conversion



شکل ۲- انواع سازوکار عملکرد فسفرهای نورتابی تبدیل به بالا.

ترمال دما پایین (کمتر از  $25^{\circ}\text{C}$ ) و فشار بالاست. پیش‌سازها معمولاً نیترات‌ها یا کلریدهای عناصر نادر خاکی در محیط آبی (هیدروترمال) یا در حللهای آلی نظیر الکل‌ها (سالووترومال) به همراه افروندی‌های آلی نظری اولیه‌ک اسید و سدیم سیترات می‌باشند. پس از تهیه پیش‌ساز، ادامه واکنش درون اتوکلاو انجام می‌گیرد [۱۷-۱۸].



شکل ۳- طیف گسیل نورتابی تبدیل به بالا در (a)  $\text{NaYF}_4:\text{Yb}/\text{Er}(18/2 \text{ mol}\%)$  (b)  $\text{NaYF}_4:\text{Yb}/\text{Er}(25-60/2 \text{ mol}\%)$  (c)  $\text{NaYF}_4:\text{Yb}/\text{Tm}(20/0.2 \text{ mol}\%)$  (d)  $\text{NaYF}_4:\text{Yb}/\text{Tm}/\text{Er}(20/0.2/0.2-1.5 \text{ mol}\%)$  تغییر نوع دوپنت و غلظت آن در میزان مشترک  $\text{NaYF}_4$  طیف رنگی وسیعی (e-n) به دست آمده است [۱۹].

روش تجزیه حرارتی شامل تجزیه گرمایی تری‌فلوئورواستات‌های فلزی در دماهای پایین (قریباً  $300^{\circ}\text{C}$ ) به فلوریدهای فلزی مشابه خود می‌باشد

<sup>8</sup> Flame

**۲-۳- دوپنت:** بسیاری از یون‌های لantanید سه ظرفیتی به دلیل دارا بودن سطوح نرdbانی شکل و ترازهای الکترونی نیمه‌پایدار (اصطلاحاً انبارهای انرژی) با طول عمر کافی، به عنوان فعل کننده‌های مناسب برای فرآیند نورتابی تبدیل به بالا مورد تأیید قرار گرفتند که در میان آن‌ها یون‌های  $\text{Ho}^{3+}$ ,  $\text{Tm}^{3+}$ ,  $\text{Er}^{3+}$ ,  $\text{Yb}^{3+}$  با داشتن گپ‌های<sup>۱</sup> بزرگ بین ترازهای انرژی خود باعث کاهش انتقالات انرژی غیرپرتویی شده و متعاقباً افزایش احتمال و شدت گسیل نورتابی تبدیل به بالا را به دنبال دارد [۷]. از سوی دیگر یون‌های  $\text{Yb}^{3+}$  نیز به عنوان بهترین مراکز حساس‌کننده شناخته شده‌اند، چرا که سطوح انرژی آن‌ها با انتقالات الکترونی  $f-f$  شده و بسیاری از فعال‌کننده‌های لantanیدی رزونانس داشته و دارای توانایی جذب بسیار بالا در محدوده NIR ( $\sim 980\text{ nm}$ ) می‌باشند. یون‌های دوپنت سایت‌های مثبت در شبکه‌ی ماده‌ی میزان را اشغال می‌کنند که متعاقباً نزدیکی اندازه دوپنت و کاتیون‌های شبکه میزان به عنوان یک مزیت محسوب می‌شود [۴]. همان‌گونه که در شکل ۳ مشاهده می‌شود با تغییر نوع دوپنت و غلظت آن در میزان مشترک می‌توان به طیف رنگی وسیعی دست یافت [۱۶].

## ۴- ساخت

از جمله روش‌های متداول سنتز فسفرهای نورتابی تبدیل به بالا می‌توان به هیدرو (سالوو) ترمال<sup>۲</sup>، تجزیه‌ی حرارتی<sup>۳</sup>، هم‌رسوبی<sup>۴</sup>، سلزیل<sup>۵</sup> [۱۴]، میکروامولسیون، احتراق<sup>۶</sup> و شعله<sup>۷</sup> اشاره نمود [۶]. در روش هیدرو (سالوو)

<sup>1</sup> Gap

<sup>2</sup> انتقالات الکترونی که طبق قانون انتخابی لاپورته غیرمجاز هستند، به این ترتیب که این انتقالات دوقطبی الکتریکی با تغییر در زوجیت پذیری (Parity) همراهند.

<sup>3</sup> Hydro (Solvothermal)

<sup>4</sup> Thermal decomposition

<sup>5</sup> Co-precipitation

<sup>6</sup> Sol-gel

<sup>7</sup> Combustion

می‌توان به شناسایی بر پایه انتقال انرژی رزونانسی فلورسانسی<sup>۸</sup> و تصویربرداری نوری<sup>۹</sup> اشاره کرد [۲۵-۲۶].

### ۶- انتقال انرژی رزونانسی فلورسانسی (FRET)

FRET انتقال انرژی غیر تشعشعی میان دو کروموفر است و در صورتی اتفاق می‌افتد که طیف گسیل کروموفر اولیه (جز دهنده که در اینجا نانوذرات نورتابی می‌باشند)، با طیف تهییج کروموفر ثانویه (جز پذیرنده که می‌تواند فلوروفر<sup>۱۰</sup> با خاصیت تبدیل به پایین باشد) همپوشانی داشته باشد. FRET به شدت ولبسته به برقراری فاصله مناسب بین جز دهنده و پذیرنده (کمتر از ۱۰ nm) می‌باشد. فاصله بین دو کروموفر، به عوامل نظری زاویه بین آن‌ها، ضربی خاموشی گیرنده<sup>۱۱</sup>، بازدهی کواتومی دهنده و میزان همپوشانی طیف نشر دهنده و تهییج پذیرنده بستگی دارد [۲۷]. از جمله فواید فسفرهای نورتابی تبدیل به بالا برای استفاده به عنوان دهنده در FRET می‌توان به موارد زیر اشاره کرد: ۱- امواج NIR باعث تهییج فلوروفر پذیرنده نمی‌شود که در نتیجه منجر به افزایش حساسیت شناسایی می‌گردد. ۲- از فواید دیگر آنها می‌توان به پهنه‌ی گسیل باریک لانتانیدها اشاره کرد که به راحتی از طول موج گسیل پذیرنده قابل تلفیک است [۴].

یکی از کاربردهای مهم FRET، شناسایی DNA برای تشخیص بیماری‌های ژنتیکی است. چن<sup>۱۲</sup> در سال ۲۰۰۸ از نانوذرات نورتابی NaYF<sub>4</sub>:Yb,Er استفاده کرد و شده با گروه‌های کربوکسیل متصل به پروتئین استرداپتاویدین<sup>۱۳</sup> استفاده کرد و آن‌ها را به DNA نشانه‌گذاری شده با بیوتین<sup>۱۴</sup> (گیرنده<sup>۱۵</sup>) متصل ساخت و بدین ترتیب جز دهنده FRET آماده شد. همچنین جز پذیرنده FRET از اتصال DNA به کربوکسی‌تراماتیل‌رودآمین (TAMRA)<sup>۱۶</sup> (DNA گزارش‌دهنده<sup>۱۷</sup>) بدست آمد. در نتیجه به جای گسیل سبز (۵۴۰ nm) از نانوذرات، گسیل زرد (۵۸۰ nm) از TAMRA مشاهده می‌شود. همان‌طور که در شکل ۵ مشاهده می‌شود با افزایش غلظت DNA هدف، شدت گسیل زرد (۵۸۰ nm) فلوروفر TAMRA افزایش و شدت گسیل سبز (۵۴۰ nm) نانوذرات نورتابی کاهش می‌یابد [۲۸].

همان‌طور که در شکل ۴ مشاهده می‌شود در صورت وجود DNA هدف<sup>۱۸</sup>، بین این سه نوع DNA اتصال برقرار شده که منجر به ایجاد فاصله مناسب بین جز دهنده و پذیرنده FRET گشته و به تبع آن انتقال انرژی از نانوذرات نورتابی به فلوروفر TAMRA را به دنبال دارد.

<sup>8</sup> Fluorescence resonance energy transfer  
<sup>9</sup> Optical imaging

<sup>10</sup> ماد شیمیایی با خاصیت فلورسانسی است.

<sup>11</sup> Extinction coefficient

<sup>12</sup> Chen ZG

<sup>13</sup> نوعی پروتئین دارای افینیتی بسیار بالا به Biotin  
<sup>14</sup> ویتامین B<sub>7</sub> و Biotin

<sup>15</sup> Capture-DNA

<sup>16</sup> Carboxytetramethylrhodamine از مشتقان ماده رنگزای رودآمین که در ۵۴۰ nm تهییج می‌شود.

<sup>17</sup> Reporter-DNA

<sup>18</sup> Target-DNA

این روش در فشار محیط و با استفاده از حللاهای آلی با نقطه جوش بالا نظری<sup>۱-۲</sup>- اکتادسن و اوئلیل آمین<sup>۳</sup> به همراه افزودنی‌های آلی نظری اوئلیک اسید انجام می‌شود [۱۹]. روش همروسوی شامل مرحله رشد ذرات در محیط آبی در دمای اتاق می‌باشد که به دنبال آن پیش‌سازهای فلزی رسوب کرده و در نهایت مرحله تکلیس<sup>۴</sup> انجام می‌شود. مرحله انتهاهی به منظور بازآرایی ساختار بلوری شبکه میزبان در دماهای بالا انجام می‌گیرد [۲۰]. به ترتیب این سه روش به دلیل رسیدن به نانوذرات مونودیسپرس همراه با ساختار مناسب، خلوص فازی و اندازه یکنواخت نانوبلورها و در نهایت بازده نورتابی بالا برای کاربردهای پزشکی بیش از سایر روش‌ها توصیه می‌شوند [۶-۷].

### ۵- اصلاح سطحی

بسیاری از کاربردهای نانوذرات نورتابی بهویژه کاربردهای پزشکی نیازمند آب‌دوستی و سازگاری زیستی نانوذرات می‌باشند. عموماً نانوذرات نورتابی تبدیل به بالا سنتزی، محلول در آب نیستند، به همین دلیل اتصال بین نانوذرات و مولکول زیستی در مصارف پزشکی دچار محدودیت می‌شود. برای حل این مشکل، اصلاحات سطحی بر روی این نانوذرات به دو صورت زیر انجام می‌گیرد:

۱- اصلاح سطحی با پوسته معدنی سیلیکا.

۲- اصلاح سطحی با لیگاندهای آلی به چهار روش تعویض لیگاند، جذب لیگاند، اکسیداسیون لیگاند و سوار کردن لیگاند<sup>۱۰</sup>.

### ۶- کاربرد

از جمله کاربردهای فسفرهای نورتابی تبدیل به بالا در تبدیل امواج الکترومغناطیسی از ناحیه زیر قرمز نزدیک به مرئی می‌توان به سلول‌های خورشیدی [۲۱]، ذخیره‌سازی اطلاعات، صفحه نمایشگرهای سه‌بعدی، حسگرهای حرارتی [۲۲] و شیمیایی [۲۳]، لیزر [۲۴] و همچنین شناساگرهای پزشکی [۶] اشاره کرد. در این بین یکی از مهم‌ترین کاربردهای این مواد در زمینه شناساگرهای پزشکی است. مزیت این دسته از مواد نسبت به مواد رنگزای آلی و نقاط کواتومی<sup>۵</sup>، قابلیت تنظیم جذب آنها در ناحیه زیر قرمز نزدیک می‌باشد، که این مسئله به مزیت‌های رویه‌رو منجر می‌شود: ۱- حساسیت شناسایی بالا و نسبت سیگنال به پارازیت<sup>۶</sup> بسیار عالی به دلیل عدم حضور فلورسانس خودبه‌خودی.<sup>۷</sup> ۲- عمق نفوذ بالاتر امواج NIR به درون بافت‌های زیستی که منجر به تخریب کمتر نمونه‌های زیستی می‌شود. ۳- تهییج توسط لیزرهای NIR با توان پایین که پیوسته و ارزان هستند. از فواید دیگر آنها می‌توان به پیک‌های گسیل باریک، پایداری شیمیایی و فیزیکی خوب، سمیت بسیار کم اشاره کرد. در کاربردهای پزشکی توسط این مواد

<sup>1</sup> Oleylamine

<sup>2</sup> Calcination

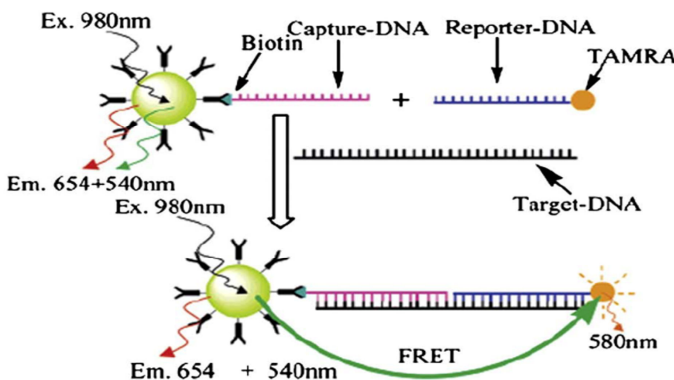
<sup>3</sup> Ligand attraction

<sup>4</sup> Ligand assembly

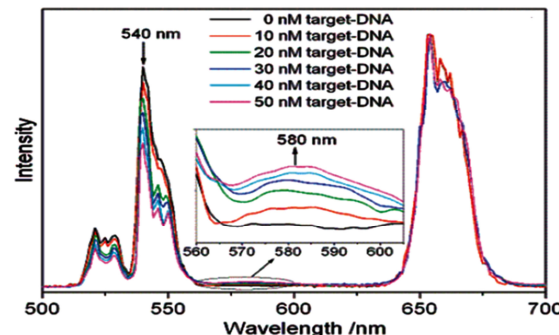
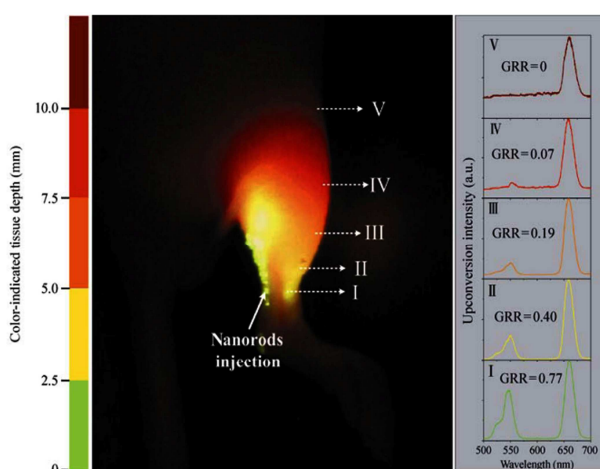
<sup>5</sup> Quantum dots

<sup>6</sup> Signal-to-noise ratio (SNR)

<sup>7</sup> Autofluorescence

شکل ۴- شناسایی DNA بر پایه FRET توسط نانوذرات نورتایی [۲۸]  $NaYF_4:Yb,Er$ 

مختلف جهت حصول به فسفرهای نورتابی تبدیل به بالا پربازده متناسب با نوع کاربرد همراه با ساختار متعدد و تنظیم‌پذیری رفتارهای نوری بسته به نوع نیاز، برای کاربردهای مختلف به ویژه در زمینه‌های پزشکی ساخته شوند.

شکل ۵- طیف نورتابی مجموعه نانوذرات  $NaYF_4:Yb,Er$  همراه با  $DNA$  گیرنده و  $Streptavidin$  گزارش دهنده در حضور غلظت‌های متفاوت  $DNA$  هدف، تحت تهییج در ۹۸۰ nm [۲۸]شکل ۶- تصویربرداری چندرنگی  $NaYF_4:Yb,Er/La$  in vivo حساس به عمق توسط نانومیله‌های  $NaYF_4:Yb,Er$  بر روی پای موس [۳۱]

## ۲-۶- تصویربرداری

تصویربرداری نوری یک ابزار ضروری به منظور آشکارسازی ریخت‌شناسی بافت‌ها در تحقیقات پزشکی محسوب می‌شود. نانوذرات نورتابی تبدیل به بالا به دلیل خواص منحصر به فرد نوری و شیمیایی خود به عنوان مناسب‌ترین شناساگرها برای عکس‌برداری  $in vitro$ ,  $in vivo$  و  $ex vivo$ <sup>۱</sup> مطرح می‌شوند [۲۹-۳۰]. خوفن یو و همکارانش<sup>۲</sup> در سال ۲۰۱۰ اولین تصویربرداری چندرنگی  $in vivo$  حساس به عمق را توسط نانومیله‌های  $NaYF_4:(Yb,Er)/La$  بر روی پای موس انجام دادند. نکته جالب در این آزمایش این بود که رنگ نور خروجی از بافت پا حساس به عمق بوده، به این دلیل که نور قرمز گسیل شده به علت داشتن انرژی پایین‌تر، عمق نفوذ به بافت بالاتری نسبت به نور سبز دارد. همان‌طور که در شکل ۶ مشاهده می‌شود با افزایش عمق نفوذ، نسبت گسیل سبز به قرمز<sup>۳</sup> که عامل مهمی در نانوذرات نورتابی تبدیل به بالا محسوب می‌شود، کاهش می‌یابد که از کاربردهای آن می‌توان در پاتولوژی برای تعیین محل دقیق آسیب استفاده نمود [۳۱].

## ۷- نتیجه‌گیری

در سال‌های اخیر مطالعه بر روی فسفرهای نورتابی تبدیل به بالا قابلیت جذب در ناحیه زیرقرمز نزدیک و توانایی گسیل در هر سه ناحیه زیرقرمز نزدیک، مرئی و فرابینش در طیف الکترومغناطیس، روند چشم‌گیری را به دنبال داشته است. امروزه تصویربرداری  $in vivo$  به دلیل پیچیدگی‌های فراوان، در عمل چار محدودیت‌های بسیاری است، اما همان‌گونه که اشاره شد نانوذرات نورتابی با داشتن خواص منحصر به فرد نورتابی به عنوان بهترین گزینه در میان سایر شناساگرها پزشکی موجود مطرح می‌شوند. تا به امروز شدیدترین گسیل نورتابی مربوط به ساختار هگزاگونال ( $NaYF_4:Yb(20\%), Er(2\%)$ ) تهییج شده در ۹۸۰ nm گزارش شده است، امید است در سال‌های آینده با بهینه‌سازی پارامترهای

<sup>۱</sup> انجام آزمایشات بر روی کل ارگان زنده

<sup>۲</sup> انجام آزمایشات بر روی سلول‌های زنده در محیط آزمایشگاهی

<sup>۳</sup> انجام آزمایشات بر روی بافت در محیط مصنوعی خارج از ارگان زنده

<sup>4</sup> Xuefeng Yu

<sup>5</sup> Green-to-red ratio

## -مراجع-

1. F. Auzel, "Upconversion and anti-stokes processes with f and d ions in solids", *Chem. Rev.*, 104, 139–173, **2004**.
2. C. Ronda, S. He, T. Justel, "Luminescence from Theory to Applications", 1 th ed, Wiley-VCH, Weinheim, **2008**.
3. J. Chen, J. Zhao, "Upconversion nanomaterials: Synthesis, mechanism, and applications in sensing", *Sensors*, 12, 2414–2435, **2012**.
4. M. Wang, G. Abbineni, A. Clevenger, C. Mao, S. Xu, "Upconversion nanoparticles: Synthesis, surface modification and biological applications", *Nanomedicine*, 7, 710-729, **2011**.
5. Z. Chao, S. Lingdong, Z. Yawen, "Rare earth upconversion nanophosphors: synthesis, functionalization and application as biolabels and energy transfer donors", *Rare Earths*, 28, 807, **2010**.
6. D. Vennerberg, Z. Lin, "Upconversion nanocrystals: Synthesis, properties, assembly and applications", *Sci. Adv. Mater.* 3, 26–40, **2011**.
7. T. Riuttamäki, "Upconverting phosphor technology: Exceptional photoluminescent properties light up homogeneous bioanalytical assays", Turku, **2011**.
8. M. Tan, L. Al-Baroudi, R. Riman, "Surfactant effects on efficiency enhancement of infrared-to-visible upconversion emissions of NaYF<sub>4</sub>: Yb-Er", *ACS Appl. Mater. Interfaces*, 3, 3910–3915, **2011**.
9. J. Shan, M. Uddi, R. Wei, N. Yao, Y. Ju, "The Hidden effects of particle shape and criteria for evaluating the upconversion luminescence of the lanthanide doped nanophosphors", *J. Phys. Chem.* 114, 2452–2461, **2010**.
10. D. Li, C. Ding, G. Song, "Controlling the morphology of erbium-doped yttrium fluoride using acids as surface modifiers: employing adsorbed chlorine ions to inhibit the quenching of upconversion fluorescence", *J. Phys. Chem. C*, 114, 21378–21384, **2010**.
11. J. Zhang, C. Cao, S. Lu, "Energy transition between Yb<sup>3+</sup>-Tm<sup>3+</sup>-Gd<sup>3+</sup> in Gd<sup>3+</sup>, Yb<sup>3+</sup> and Tm<sup>3+</sup>Co-doped fluoride nanocrystals", *physics procedia*, 13, 9–13, **2011**.
12. H. Hu, Z. Chen, T. Cao, Q. Zhang, "Hydrothermal synthesis of hexagonal lanthanide-doped LaF<sub>3</sub> nanoplates with bright upconversion luminescence", *Nanotechnology*, 19, 375702, **2008**.
13. G. Yi, G. Chow, "Colloidal LaF<sub>3</sub>: Yb, Er, LaF<sub>3</sub>:Yb, Ho and LaF<sub>3</sub>:Yb, Tm nanocrystals with multicolor upconversion fluorescence", *J. Mater. Chem.* 15, 4460–4464, **2005**.
14. Q. Lu, F. Guo, L. Sun, A. Li, "Surface modification of ZrO<sub>2</sub>:Er<sup>3+</sup> nanoparticles to attenuate aggregation and enhance upconversion fluorescence", *J. Phys. Chem. C*, 112, 2836 – 2844, **2008**.
15. Y. Fu, W. Cao, Y. Peng, X. Luo, M. Xing, "The upconversion luminescence properties of the Yb<sup>3+</sup>-Ho<sup>3+</sup> system in nanocrystalline Y<sub>2</sub>O<sub>2</sub>S", *J. Matter. Sci.*, 45, 6556-6561, **2010**.
16. F. Wang, "Upconversion multicolor fine-tuning: Visible to near-infrared emission from lanthanide-doped NaYF<sub>4</sub> nanoparticles", *J. Am. Chem. Soc.*, 130, 5642-5643, **2008**.
17. N. Dong, M. Pedroni, F. Piccinelli, G. Conti, A. Sbarbati, "NIR-to-NIR two-photon excited CaF<sub>2</sub>:Tm<sup>3+</sup>, Yb<sup>3+</sup> nanoparticles: multifunctional nanoprobes for highly penetrating fluorescence bio-imaging", *ACS Nano*, 5, 8665–8671, **2011**.
18. M. Wang, C. Mi, Y. Zhang, J. Liu, F. Li, C. Mao, S. Xu, "NIR-Responsive silica-coated NaYbF<sub>4</sub>:Er/Tm/Ho upconversion fluorescent nanoparticles with tunable emission colors and Their applications in immunolabeling and fluorescent imaging of cancer cells", *J. Phys. Chem.* 113, 19021–19027, **2009**.
19. J. Boyer, L. A. Cuccia, J. A. Capobianco, "Synthesis of colloidal upconverting NaYF<sub>4</sub>: Er<sup>3+</sup>/Yb<sup>3+</sup>and Tm<sup>3+</sup>/Yb<sup>3+</sup>monodisperse nanocrystals", *Nano Letters*, 7, 847 – 852, **2007**.
20. X. Wang, Y. Bu, S. Xiao, X. Yang, J. W. Ding, "Upconversion in Ho<sup>3+</sup>-doped YbF<sub>3</sub> particle prepared by coprecipitation method", *Appl. Phys. B*, 93, 801–807, **2008**.
21. C. Strümpel, M. McCann, G. Beaucarne, V. Arkhipov, "Modifying the solar spectrum to enhance silicon solar cell efficiency—An overview of available materials", *Sol. Energy Mater. Sol. Cells*, 91, 238–249, **2007**.
22. B. S. Cao, Y. Y. He, Z. Q. Feng, Y. S. Li, B. Dong, "Optical temperature sensing behavior of enhanced green upconversion emissions from Er-Mo:Yb<sub>2</sub>Ti<sub>2</sub>O<sub>7</sub> nanophosphor", *Sens. Actuators, B*, 159, 8-11, **2011**.
23. Sun L, Peng H, Stich MJ, Achatz DE, Wolfbeis OS, "pH sensor based on upconverting luminescent lanthanide nanorods", *Chem. Commun*, 33, 5000–5002, **2009**.
24. P. Xie, T. R. Gosnell, "Room-temperature upconversion fiber laser tunable in the red, orange, green, and blue spectral regions", *Opt. Lett.*, 20, 1014-1016, **1995**.
25. D. E. Achatz, R. Ali, O. S. Wolfbeis, "Luminescent chemical sensing, biosensing, and screening using upconverting nanoparticles", *Lum. App. Sens. Sci.*, 300, 29-50, **2011**.
26. D. K. Chatterjee, M. K. Gnanasammudhan, Y. Zhang, "Small upconverting fluorescent nanoparticles for biomedical applications", *small*, 6, 2781–2795, **2010**.
27. D. Piston, G. Kremers, "Fluorescent protein FRET: The good, the bad and the ugly", *Biochem. Sci.*, 32, 407-414, **2007**.
28. ZG. Chen, "Versatile synthesis strategy for carboxylic acid-functionalized upconverting nanophosphors as biological labels", *J. Am. Chem. Soc.*, 130, 3023-3029, **2008**.
29. M. A. Hahn, A. K. Singh, P. Sharma, "Nanoparticles as contrast agents for in-vivo bioimaging:current status and future perspectives", *Anal. Bioanal. Chem.*, 399, 3 – 27, **2011**.
30. J. Zhou, Z. Liu, F. Li, "Upconversion nanophosphors for small-animal imaging", *Chem. Soc. Rev.* 41, 1323–1349, **2012**.
31. X. Yu, M. Li, M. Xie, L. Chen, Y. Li, Q. Wang, "Dopant-controlled synthesis of water-soluble hexagonal NaYF<sub>4</sub> nanorods with efficient upconversion fluorescence for multicolor bioimaging", *Nano Res.*, 3, 51–60, **2010**.